DOI:10.16450/j.cnki.issn.1004-6801.2025.05.024

基于 TET 的介电弹性体驱动器参数辨识方法*

孟立立1, 吴子豪1, 王箫剑2, 李富才2

(1.中国矿业大学机电工程学院 徐州,221116) (2.上海交通大学机械与动力工程学院 上海,200240)

摘要 针对介电弹性体驱动器非线性动态特性难以准确捕捉的问题,提出了一种介电弹性体驱动器参数辨识方法。首先,基于瞬态提取变换(transient-extracting transform,简称TET)的时频变换方法,利用扫频激励获得驱动器响应信号;其次,通过分离提取其中谐波分量与基频分量,分别计算不同分量的传递函数,从而获得介电弹性体驱动器的传递函数;最后,与实验数据进行了对比。结果表明,基频传递函数的拟合准确度为92.11%,二次谐波传递函数的拟合准确度为90.35%。所提方法无需考虑材料特性或自由能密度函数,且考虑了系统高次谐波分量的影响,为电活性材料结构的参数辨识提供新的思路。

关键词 介电弹性体驱动器;参数辨识;传递函数;瞬态提取变换中图分类号 TH14

引言

介电弹性体(dielectric elastomer,简称DE)是一种电活性柔性材料,可以将输入电压转换为机械变形进行输出。与传统驱动器相比,介电弹性体驱动器(dielectric elastomer actuator,简称DEA)具有响应速度快、电致变形大、重量轻和能量密度高等优点,被广泛应用于扬声器、振动器、泵和软体机器人等领域[12]。然而,介电弹性体材料由于自身黏弹性,造成其结构具有蠕变和迟滞等固有非线性特征,使得其难以在精确位置控制等方面广泛应用[34]。此外,考虑到现阶段DEA制造工艺多以实验室操作为主,电极涂抹一致性较差,具有输出特征的不确定性,其传递行为更加复杂。因此,传统动态模型无法很好地进行拟合[56]。

为了解决这一问题,研究人员提出了诸多模型来表征介电弹性体驱动器的动态行为。Xu等^[7]基于欧拉-拉格朗日方程,获得了具有 DEA 固有材料阻尼的运动方程,并分析了驱动器系统的振动和振荡行为。为了考虑材料的能量耗散特性,研究人员将黏弹性模型引入驱动器动力学方程中。Zhang等^[8]利用 Kelvin-Voigt-Maxwell(KVM)组合模型建立了一种描述介电弹性体固有黏弹性的材料本构模型。在准确描述材料的非线性特性和大变形方面,Foo等^[9]提出使用有限元方法(finite element method,简称 FEM)对介电弹性体的大变形行为进行表述。Zhao等^[10]基于分数阶的 Kelvin-Voigt建立了黏

弹性模型的本构模型。有限元法和分数阶模型都能够较为准确地描述DEA的黏弹性行为和动态特性,但这种方法也使模型变得更加复杂,不适用于控制策略的设计[11]。为此,可以通过唯象学模型对DEA进行建模。Zou等[12]提出了一种基于Prandtl-Ishlinskii(PI)模型的唯象学建模方法来表征DEA的黏弹性和迟滞非线性特性。Wang等[13]基于PI模型表征了DEA的蝶形迟滞,并提出了一种自适应隐式逆模型的神经网络来控制蝶形迟滞。尽管唯象学模型有利于控制策略的设计,但这种模型缺乏相应的物理意义,不具备可解释性[14]。

针对此问题,研究人员通过对DEA的传递函数进行线性化的方法来简化控制策略的设计^[15]。线性传递函数具有易于快速辨识的优点,被广泛应用于在线辨识等领域。在精度要求不高的场合,线性传递函数足以描述系统的动态行为^[16]。对于DEA系统,Rizzello等^[17]提出了一种电-机耦合非线性模型,使用标准最小二乘算法识别线性化后的系统参数。然而,传统线性化方法忽视了系统的高阶谐波分量对系统特性的影响,因而会导致模型产生误差,限制了控制精度。

本研究提出的线性化模型,利用时频分析方法分离不同的频率成分,同时考虑谐波分量与基频分量,分别计算不同频率分量的传递函数,满足了介电弹性体驱动器对电压响应产生的2阶分量的要求。与传统方法相比,TET方法能够更准确地捕捉介电

弹性体驱动器的非线性动态特性,需要的参数更少, 且无需考虑材料特性或自由能密度函数,即可计算 出系统传递函数。该方法考虑了系统的高次谐波分 量的影响,能够更真实地反映驱动器的动态特性,相 较于使用单一传递函数的方法更为精确,更加适用 于控制策略的设计。

参数辨识方法 1

1.1 谐波分量提取方法

对于非线性扫频响应信号,为了将基频特性与 其他阶次谐波的特性分开,笔者采用短时傅里叶变 换来显示信号的时频特性,即

$$V_x^g(t, \boldsymbol{\omega}) = \int_{-\infty}^{\infty} x(\tau) g^*(\tau - t) e^{-j\omega \tau} d\tau \qquad (1)$$

其中:g(t)为滤波器窗函数; $g^*(t)$ 为g(t)的共轭复 数; $V_x^g(t,\omega)$ 为x(t)的时频谱。

采用瞬态提取变换方法将时频域中的能量集 中。首先,采用1阶群延迟(group delay,简称GD) 估计器估计瞬时相位差,提高时频图中频率位置的 精度,其可表示为

$$\hat{\tau}_{1}(t,\omega) = -\Im\left(\frac{\frac{\partial}{\partial\omega}V_{x}^{g}}{V_{x}^{G}}\right) \tag{2}$$

其中:3(.)表示复数的虚部。

其次,利用改进的 TET[18] 提取信号的瞬态信 息,即

$$TET(t,\omega) = V_x^g \delta(t - \hat{\tau}_1(t,\omega))$$
 (3)

采用标准最小二乘脊线提取法[16]从瞬态提取变 换获得的瞬态信息中提取各个信号成分的频率脊 线,得到一系列的GD向量,其维度为 $\tau \in R^{\frac{N}{2}+1}$, i=1, 2, ···, L。其中, L为不同信号成分的个数。

然后,根据时频谱 $V_s(t,\omega)$ 提取 GD 向量 τ 和 时-频域变换矩阵 T_x ,将每个信号进行拆分。第i个 信号成分的 TET 矩阵 T_{x}

$$T_{x_i}(b,k) = \begin{cases} T_x(b,k) & (b \in [u_{\min}(k), u_{\max}(k)]) \\ 0 & (b \notin [u_{\min}(k), u_{\max}(k)]) \end{cases}$$
(4)

$$T_{x_{i}}(b,k) = \begin{cases} T_{x}(b,k) & (b \in [u_{\min}(k), u_{\max}(k)]) \\ 0 & (b \notin [u_{\min}(k), u_{\max}(k)]) \end{cases}$$
(4)
其中:
$$\begin{cases} u_{\min}(k) = \max\{(\tau_{i}(k) - \beta), 0\} \\ u_{\max}(k) = \min\{(\tau_{i}(k) + \beta\}, N - 1\} \end{cases}$$
, 且 β 为

经过研究发现,参数β决定了用于信号重构的 脊线的宽度。

最后,对每个分量在时域进行重构,即

$$x_r(t) = \frac{1}{2\pi G^*(0)} \iint_{\mathbb{R}^2} T_x(\tau, \omega) e^{j\omega t} d\tau d\omega \quad (5)$$

其中: $G(\omega)$ 为滤波器窗函数g(t)的傅里叶变换,

 $G^*(\omega)$ 为 $G(\omega)$ 的共轭复数。

1.2 参数识别

传递函数用于描述系统的动态行为,其表示输 出信号和输入信号在频域中的比值。对于线性系 统,可以写成

$$H(j\omega) = Y(j\omega)/X(j\omega) \tag{6}$$

其中: Y(iw) 为输出信号的傅里叶变换: X(iw) 为 输入信号的傅里叶变换。

笔者利用谐波分量提取得到的各分量重构信 号,进行各分量的传递函数的构建。本研究着重关 注驱动器的振动响应,忽略驱动器的静态变形和黏 弹性效应。在这种情况下,系统出现高次谐波和低 次谐波,输入信号和输出信号之间的关系为

$$Y(j\omega) = \sum_{i=1}^{n} H_i(j\omega) X_i(j\omega)$$
 (7)

其中: $X_i(i\omega)$ 为具有i阶成分的输入信号的频谱; $H_i(i\omega)$ 为与i阶频谱成分相对应的传递函数。

时频分析之后的输出信号表示为

$$Y(j\omega) = \sum_{i=1}^{n} Y_{i}(j\omega)$$
 (8)

其中:Y,为第i个谐波的信号分量。

i阶传递函数可写为

$$H_{i}(j\omega) = \frac{Y_{i}(j\omega)}{X_{i}(j\omega)}$$
 (9)

每个参数分量在离散时间系统中都可以写成

$$H_i(z) = \frac{b_1 z^{-1} + b_2 z^{-2} + \dots + b_m z^{-m}}{1 + a_1 z^{-1} + a_2 z^{-2} + \dots + a_n z^{-n}} \quad (10)$$

其中: a,、b,为需要识别的参数。

1.3 基于瞬态提取变换的参数辨识流程

基于瞬态提取变换的参数辨识流程如图1所 示。首先,利用短时傅里叶变换(short-time Fourier transform, 简称 STFT) 将实验得到的驱动器响应位 移信号转换为响应位移的时频谱;其次,使用TET

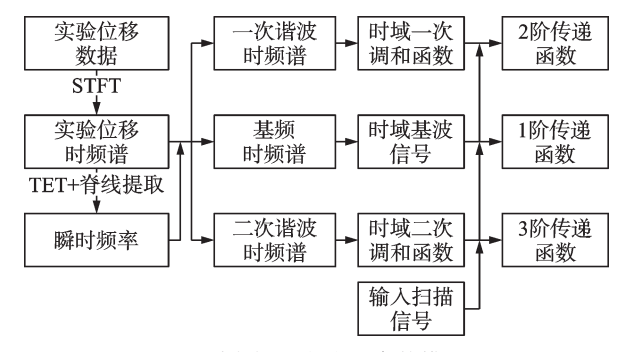


图 1 基于瞬态提取变换的参数辨识流程图

Fig.1 Flowchart of parameter identification based on TET

变换和脊线提取优化算法计算各个分量的瞬时信息;然后,在时频域中分离出不同谐波的不同分量,并在时域上重构各个信号分量;最后,利用重构信号和扫频信号来计算每个传递函数的参数。

2 实验装置

在进行实验前,首先将介电弹性体薄膜预拉伸成预应变状态的圆形弹性体薄膜,预拉伸率为400%,再将其固定在聚甲基丙烯酸甲酯(PMMA)环形框架上,并在薄膜中心黏贴圆形平台,形成一个内圆半径为25 mm、外圆半径为50 mm的环形弹性体薄膜。这一步骤为后续实验提供了必要的弹性体材料和稳定的结构基础。介电弹性体驱动器如图2 所示。

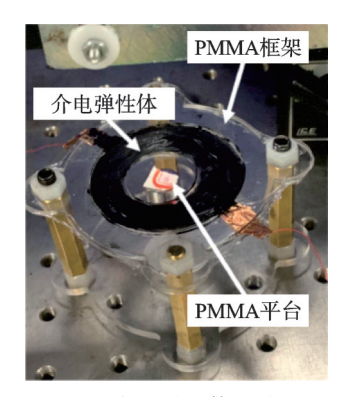


图 2 介电弹性体驱动器

Fig.2 Dielectric elastomer actuator

在弹性体薄膜的上、下表面涂抹由导电碳脂制成的电极。这些电极能够导电并响应施加的电压,从而产生电流,使得弹性体薄膜产生电致变形。在弹性体薄膜的中央平台底部放置一个5g重的砝码,以模拟负载条件。

施加的系统输入激励电压是幅值为1740 V、偏置为1740 V的交流电压,激励电压通过信号发生器发出并通过高压电源放大产生,频率范围从5Hz逐渐增加到45Hz,持续时间为20s。图3为信号发生器产生的前10s输入信号的时间序列。激励电压

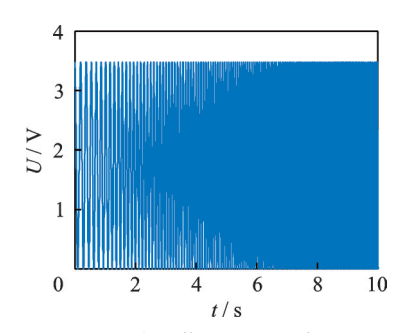


图 3 输入信号的时间序列

Fig.3 Time series of input signal

施加到电极上会导致弹性体双轴面内变形,在偏置质量的作用下,平台产生竖直方向位移。为了准确测量弹性体薄膜的位移,使用激光位移传感器测量平台位移。这种传感器能够非接触式地测量物体的位移,并具有高精度和快速响应的特点。

3 实验结果

利用上述实验装置,测量了介电弹性体驱动器的响应位移。输出信号的特征如图4所示。从时域图上可以观察到2个明显的峰值,而频谱图上缺失其中1个峰值,这表明系统存在高次谐波分量。此外,时域信号在第6 s 处的响应不是标准的正弦函数,这也说明了系统存在明显的非线性特性。

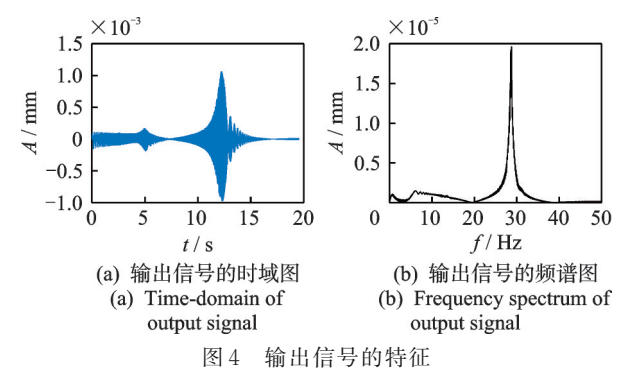


Fig.4 Characteristics of output signal

对响应信号进行时频变换后,得到了如图 5 所示的驱动器响应位移的时频谱。可以看出,时频域中有 3 个分量,分别为:①基频,从 5 Hz逐渐升至 45 Hz,持续时间为 20 s;②高次谐波,从 5 Hz逐渐升至 45 Hz,持续时间为 10 s;③固有频率,在整个时间 段内始终保持在 30 Hz。

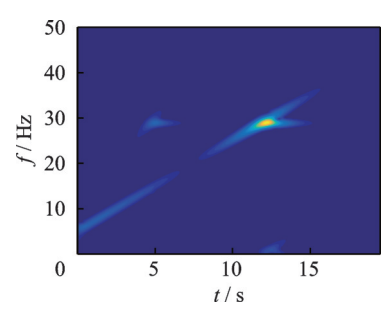
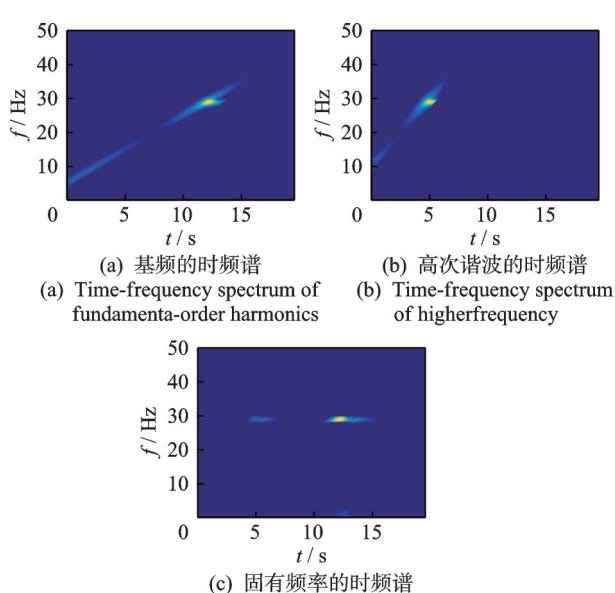


图 5 驱动器响应位移的时频谱

Fig.5 Time-frequency spectrum of actuator response displacement

经过脊线提取和分量分离步骤后,各分量信号的时频谱如图 6 所示。各分量信号的重构结果如图 7 所示。重构信号和实验信号的比较如图 8 所示。可以看出,这 3 个分量的叠加在时域上与原始信号非常相似。信号的重构质量因子为 19.6 dB。



(c) Time-frequency spectrum of natural frequency 图 6 各分量信号的时频谱

Fig.6 Time-frequency spectrum of component signals

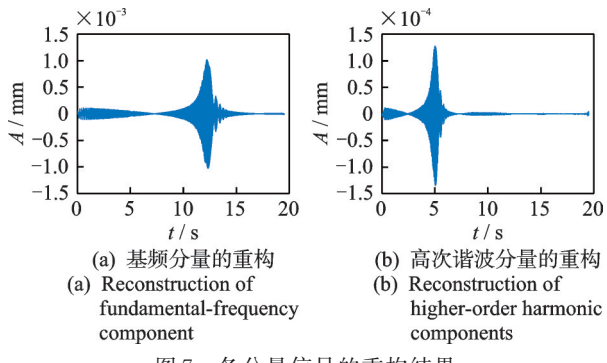


图 7 各分量信号的重构结果

Fig.7 Reconstruction results of component signals

在时域上的第3个分量固有频率成分主要是由

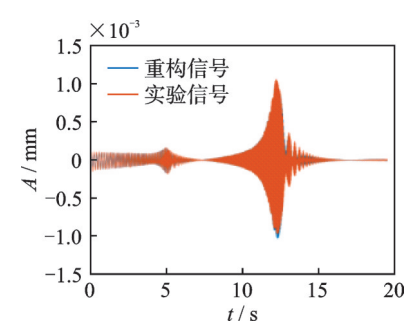


图 8 重构信号和实验信号的比较

Fig.8 Comparison between reconstructed signals and experimental signals

阻尼引起的缓慢响应,不影响系统的动态特性。因此,在计算运动控制的传递函数时,可以忽略固有频率分量。

在参数辨识方面,使用最小二乘法[19]对传递函数的参数进行辨识。基频辨识的传递函数为 $H_1(z)$ =

$$\frac{-2.388\times10^{-5}z^{-3}+4.018\times10^{-5}z^{-4}-2.334\times10^{-5}z^{-5}}{1-2.892z^{-1}+3.816z^{-2}-2.583z^{-3}+0.7632z^{-4}}$$
(11)

基于该传递函数,基频信号的仿真信号与实验数据对比如图9所示。由图可知,测试信号的拟合百分比为92.11%。测试信号的拟合百分比的计算方法为

$$fit = 1 - \frac{\sum (x_{iref} - x_i)^2}{\sum (x_{iref} - \text{mean}(x_{iref}))^2}$$
(12)

其中: x_{iret} 为第i阶实验数据; x_i 为第i阶仿真数据。 对于高次谐波分量而言,辨识的传递函数为

$$H_2(z) = \frac{-5.442 \times 10^{-7} z^{-1} + 1.267 \times 10^{-6} z^{-2} - 1.484 \times 10^{-6} z^{-3} + 9.159 \times 10^{-7} z^{-4} - 3.242 \times 10^{-7} z^{-5}}{1 - 4.103 z^{-1} + 8.259 z^{-2} - 9.909 z^{-3} + 7.481 z^{-4} - 3.363 z^{-5} + 0.763 4 z^{-6}}$$
(13)

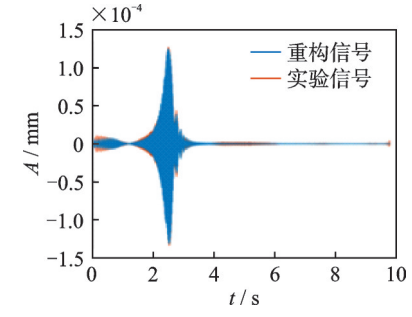


图 9 基频信号的仿真信号与实验数据对比

Fig.9 Comparison of simulated fundamental-frequency signals with experimental data

基于该传递函数,高次谐波仿真信号和实验数据的比较如图 10 所示。由图可知,测试信号的拟合百分比为 90.35%。

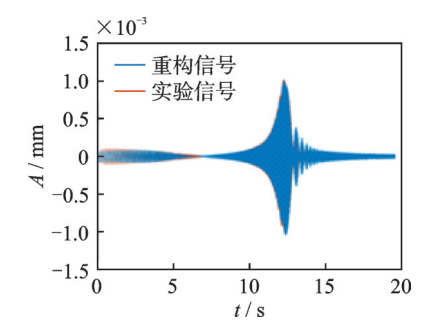


图 10 高次谐波仿真信号和实验数据的比较

Fig.10 Comparison of higher-order harmonic simulation signals and experimental data

4 结 论

1) 本研究基于瞬态提取变换提出了一种用于 计算介电弹性体驱动器传递函数的参数辨识方法, 通过时频变换提取驱动器时域响应各阶分量并进行 传递函数辨识。

- 2) 该方法利用扫频激励过程获得的驱动器位移响应实验数据,在无需考虑材料特性和自由能密度函数的情况下,即可直接计算传递函数。
- 3) 在时频变换过程中采用了脊线分离提取技术,通过提取各分量信号对不同频率成分的传递函数分别进行参数辨识。该方法考虑到介电弹性体驱动器响应中存在的高次谐波成分,能够更真实地反映驱动器的动态特性,相较于使用单一传递函数的方法更为精确,更加适用于控制策略的设计。

参 考 文 献

- [1] 陈花玲, 王永泉, 盛俊杰, 等. 电活性聚合物材料及其在驱动器中的应用研究[J]. 机械工程学报, 2013, 49(6): 205-214.
 - CHEN Hualing, WANG Yongquan, SHENG Junjie, et al. Research of electro-active polymer and its application in actuators[J]. Journal of Mechanical Engineering, 2013, 49(6): 205-214.(in Chinese)
- [2] BROCHU P, PEI Q B. Advances in dielectric elastomers for actuators and artificial muscles[J]. Macromolecular Rapid Communications, 2010, 31(1): 10-36.
- [3] HODGINS M, RIZZELLO G, NASO D, et al. An electro-mechanically coupled model for the dynamic behavior of a dielectric electro-active polymer actuator [J]. Smart Materials and Structures, 2014, 23 (10): 104006
- [4] CAO C J, HILL T L, CONN A T. On the nonlinear dynamics of a circular dielectric elastomer oscillator [J]. Smart Materials and Structures, 2019, 28(7): 075020.
- [5] TRUONG B N M, AHN K K. Inverse modeling and control of a dielectric electro-active polymer smart actuator[J]. Sensors and Actuators A: Physical, 2015, 229: 118-127.
- [6] HODGINS M, YORK A, SEELECKE S. Modeling and experimental validation of a bi-stable out-of-plane DEAP actuator system[J]. Smart Materials and Structures, 2011, 20(9): 094012.
- [7] XU B X, MÜLLER R, KLASSEN M, et al. Dynamic analysis of dielectric elastomer actuators[J]. Applied Physics Letters, 2011, 11(1): 935-938.
- [8] ZHANG J, RU J, CHEN H, et al. Viscoelastic creep and relaxation of dielectric elastomers characterized by a Kelvin-Voigt-Maxwell model[J]. Applied Physics Letters, 2017, 110(4): 044104.
- [9] FOO C C, LIU J, ZHANG Z Q. A finite element method for dielectric elastomers affected by viscoelasticity and current leakage[J]. International Journal of Applied Mechanics, 2018, 10(9): 1850102.

- [10] ZHAO D M, YIN Y D, LIU J L. A fractional finite strain viscoelastic model of dielectric elastomer[J]. Applied Mathematical Modelling, 2021, 100: 564-579.
- [11] 李智, 陈国强, 徐泓智, 等. 介电弹性体驱动系统建模 及控制方法综述[J]. 控制与决策, 2023, 38(8): 2283-2300.
 - LI Zhi, CHEN Guoqiang, XU Hongzhi, et al. A review of modeling and control methods for dielectric elastomer actuator systems[J]. Control and Decision, 2023, 38(8): 2283-2300.(in Chinese)
- [12] ZOU J, GU G. Modeling the viscoelastic hysteresis of dielectric elastomer actuators with a modified rate-dependent prandtl-ishlinskii model[J]. Polymers, 2018, 10(5): 525.
- [13] WANG Y, ZHANG X, LI Z, et al. Adaptive implicit inverse control for a class of butterfly-like hysteretic nonlinear systems and its application to dielectric elastomer actuators[J]. IEEE Transactions on Industrial Electronics, 2022, 70(1): 731-740.
- [14] 张昊,杨桂林,方灶军,等.介电弹性体致动器设计与建模综述[C]//第32届中国控制与决策会议,合肥,中国:[s.n.],2020:7.
- [15] TRUONG B N M, AHN K K. Inverse modeling and control of a dielectric electro-active polymer smart actuator[J]. Sensors and Actuators A: Physical, 2015, 229: 118-127.
- [16] RIZZELLO G, NASO D, YORK A, et al. Modeling, identification, and control of a dielectric electro-active polymer positioning system [J]. IEEE Transactions on Control Systems Technology, 2014, 23(2): 632-643.
- [17] RIZZELLO G, NASO D, TURCHIANO B, et al. Robust position control of dielectric elastomer actuators based on LMI optimization [J]. IEEE Transactions on Control Systems Technology, 2016, 24 (6): 1909-1921.
- [18] HE Z, TU X, BAO W, et al. Gaussian-modulated linear group delay model: application to second-order time-reassigned synchrosqueezing transform [J]. Signal Processing, 2020, 167: 107275.
- [19] FRUK M, VUJISIĆ G, ŠPOLJARIĆ T. Parameter identification of transfer functions using MATLAB [C]//36th International Convention on Information and Communication Technology, Electronics and Microelectronics (MIPRO), Opatija, Croatia: IEEE, 2013: 571-576.



第一作者简介:孟立立,男,1990年5月 生,博士、讲师、硕士生导师。主要研究 方向为智能材料驱动技术、软体机器人 技术、机械振动分析及控制等。

E-mail: llmeng@cumt.edu.cn